

การเตรียมเส้นใยซิลเวอร์ด้วยกระบวนการปั๊มแบบไฟฟ้าสถิตย์ The Preparation of Silver Fibers with Electrospinning Process

กัญจนा ลือพงษ์^{1*} รุ่งรัตน์กานต์ สุดสาหาด² และ พรรณิภา สระทอง²

¹อาจารย์ สาขาวิชาเทคโนโลยีเคมีสิ่งทอ คณะอุตสาหกรรมสิ่งทอและออกแบบแฟชั่น มทร.พระนคร กรุงเทพฯ 10300

²นักศึกษา สาขาวิชาเทคโนโลยีเคมีสิ่งทอ คณะอุตสาหกรรมสิ่งทอและออกแบบแฟชั่น มทร.พระนคร กรุงเทพฯ 10300

บทคัดย่อ

การเตรียมเส้นใยซิลเวอร์ด้วยเทคนิคการปั๊มเส้นใยด้วยไฟฟ้าสถิตย์ อาศัยหลักการของการผลักกันของประจุไฟฟ้าในหยดน้ำสารละลายพอลิเมอร์ เมื่อค่าแรงไฟฟ้ามีค่าสูงกว่าแรงตึงผิวของสารละลายพอลิเมอร์จะทำให้สารละลายพอลิเมอร์พุ่งออกมายเป็นเส้นใยอย่างไม่มีทิศทางไปบังแฝ่นรองรับ การศึกษานี้ทำการศึกษาตัวแปรหลัก 3 ตัว ในการเตรียมเส้นใยซิลเวอร์ โดยทำการศึกษาจากแรงดันไฟฟ้าในช่วง 6, 9, 12, 15 และ 18 กิโลโวลต์ ความเข้มข้นสารละลาย Ag⁺: PVA ร้อยละโดยน้ำหนัก ตั้งแต่ 1:10, 1:20 และ 1:30 และระยะทางระหว่างปลายเข็มถึงตัวรองรับเป็น 6, 7, 8, 9 และ 10 เซนติเมตร ตามลำดับ ผลการศึกษาที่ได้นำไปเปรียบเทียบ ลักษณะทางลักษณะทางลักษณะทางวิทยาด้วยกล้องอิเล็กตรอนแบบส่องกล้อง (SEM) และทดสอบการป้องกันแบคทีเรียตาม มาตรฐาน AATCC 100-1999 (เชิงปริมาณ) และ AATCC 147-1998 (เชิงคุณภาพ) พบว่า ลักษณะที่เหมาะสมในการฉีดเส้นใย คือ แรงดันไฟฟ้า 18 กิโลโวลต์ ความเข้มข้นของ Ag⁺: PVA เท่ากับร้อยละ 1:20 โดยน้ำหนัก ระยะระหว่างปลายหัวฉีดกับจาระบล์เส้นใย 7 เซนติเมตร เส้นใยที่ได้มีความต่อเนื่อง สม่ำเสมอ ขนาดเส้นผ่านศูนย์กลางเฉลี่ย 183.3 นาโนเมตร สามารถป้องกันแบคทีเรียได้

Abstract

The preparation of silver fiber with electrospinning process was a principle to impulse the iron within the polymer solution. The polymer solution jetted onto the ground collector in nonwoven form, when the electric charge was higher than the polymer surface tension. This research had 3 key factors consideration, that were electric power supply, polymer concentration and length between needle tip and aluminum ground collector. The electric voltage was 6, 9, 12, 15 and 18 kilovolt, the ratio of Ag⁺: polymer solution (%wt) was 1:10, 1:20 and 1:30, and the length between needle tip and aluminum foil collector was 6, 7, 8, 9 and 10 centimeter, respectively. The fibers obtained were investigated and compared to the fiber morphology by Scanning Electron Microscope and the anti-bacteria test via AATCC test method 100-1999 (Quantitative) and 147-1998 (Quality). The optimal electrospinning condition was 18 kilovolt, the ratio of Ag⁺: PVA (%wt) was 1:20 at length 7 centimeter. The fibers were continuous, average diameter as 183.3 nanometer, and available to against bacteria.

คำสำคัญ : เส้นใยซิลเวอร์ การปั๊มเส้นใยด้วยไฟฟ้าสถิตย์ ลักษณะทางวิทยา การป้องกันแบคทีเรีย

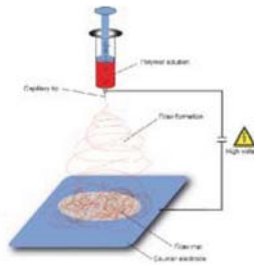
Keywords : Silver Fiber, Electrospinninig, Morphology, Anti-bacteria

*ผู้สนับสนุนงาน ประชญ์อิเล็กทรอนิกส์ kanchana.l@rmutp.ac.th โทร. 0-2629-9153 ต่อ 3003

1. บทนำ

กระบวนการผลิตเส้นใยสังเคราะห์ปั๊จจุบันส่วนใหญ่เป็นกระบวนการปั้นแบบหลอมเหลว (Melt spinning) และกระบวนการปั้นแบบเมียก (Wet spinning) แต่เมื่อความก้าวหน้าทางเทคโนโลยีมีมากขึ้นทำให้การคิดค้นและพัฒนาเส้นใยใหม่ขนาดเล็กลงเพื่อเพิ่มผิวสัมผัส และสามารถใช้งานได้อย่างกว้างขวาง จึงมีการนำเทคโนโลยีการผลิตเพื่อให้ได้เส้นใยขนาดเล็กเข้ามา ในปัจจุบันเส้นใยนาโนที่เตรียมมาจากกระบวนการแบบไฟฟ้าสถิตย์ (Electrospinning) ได้มีการพัฒนาและนำมาใช้ในอุตสาหกรรมอย่างแพร่หลายทั้งด้านการแพทย์ (Bolgen N., Mencelog lu Y.Z., Acatay K., Vargel I., Piskin E., 2007., Wang Y, Yang Q., Shan G., Wang C., Du J., Wang S., Li Y., Chen X., Jing X., and Yen W., 2005) การทำเป็นตัวเร่งปฏิกิริยา (Stasiak M., Roben C., Rosenberger N., Schleth F., Studer A., Greiner A., and Wendorff J.H., 2007., Stasiak M., Studer A., Greiner A., and Wendorff J.H., 2007) การนำมาใช้เป็นตัวกลางเพื่อกรองอนุภาคขนาดเล็ก (Caricato A P., Capone S., Ciccarella G., Martino M., Rella R., Romano F., Spadavecchia J., Taurino A., Tunno T., and Valerini D., 2007) (Wang Y., Yang Q., Shan G., Wang C., Du J., Wang S., Li Y., Chen X., Jing X., and Yen W., 2005) (Maze B., Vahedi Tafreshi H., Wang Q., and Pourdeyhimi B., 2007) (Gopal R., Kaur S., Ma Z., Chan C., Ramakrishna S., and Matsuura T., 2007) และการทำเยื่อเลือก

ผ่าน (เมมเบรน) (Kim J., Nam S., Rhee M., Park H., and Park H., 2007)



ที่มา: <http://www.uni-marburg.de/fb15/ag-wendorff/research/Electrospinning/es-setup>

รูปที่ 1 กระบวนการปั้นเส้นใยแบบไฟฟ้าสถิตย์

หลักการของการฉีดเส้นใยด้วยกระบวนการปั้นเส้นใยด้วยไฟฟ้าสถิตย์ (Electrospinning) เป็นการให้ศักย์ไฟฟ้ากำลังสูงแก่สารละลายพอลิเมอร์ เนื่องจากในสารละลายพอลิเมอร์จะมีการผลักกันของประจุไฟฟ้าทำให้เกิดหยดสารละลายพอลิเมอร์ซึ่งมีลักษณะเป็นทรงกลม เมื่อเกิดการเปลี่ยนแปลงรูปร่างจะมีลักษณะเป็นทรงกรวย ที่ยอดโคนจะมีการละลายประจุเพิ่มมากขึ้นทำให้แรงประจุไฟฟ้าชนะแรงตึงผิว ทำให้สารละลายพอลิเมอร์หลอกอกมาเป็นเส้นไปยังแผ่นรองรับเป็นเส้นใยแบบไม่ทอ ด้วยเหตุนี้ ผู้ศึกษาจึงต้องการศึกษาการเตรียมเส้นใยชิลเวอร์ด้วยกระบวนการปั้นเส้นใยด้วยไฟฟ้าสถิตย์ เพื่อเป็นทางเลือกใหม่สำหรับการนำเส้นใยไปใช้งาน

2. วิธีการทดลอง

2.1 การเตรียมสารละลายพอลิเมอร์

เตรียมพอลิเมอร์ผสมจากปริมาณอนุภาคเงิน ร้อยละ 1 โดยน้ำหนัก กับ PVA ร้อยละ 10,

20 ແລະ 30 ໂດຍນ້ຳໜັກ ຈາກນັ້ນເຕີມນ້ຳໜັກລົ້ນຈຸນ ຄຽນ 100 ນຳພອລິເມອວີ້ ໄດ້ປັ້ນດ້ວຍເຄື່ອງປັ້ນສາຮ (Harmony Hotplate Stirrer) ດ້ວຍຄວາມເຮົວຮອບ 100 ຮອບ/ນາທີເປັນເວລາ 18 ຊົ່ວໂມງ ທີ່ອຸນຫກູມີ ອ້ອງ ຈົນກະທັ້ງໄດ້ພອລິເມອວີ້ ສັນເປັນເນື້ອ ເດີວກັນ

2.2 ກາຣທາກາວະກິ່ເກມະສົມໃນກາຣເຈັດເສັນໄຍ

2.2.1 ກາຣທາກາວະກິ່ເກມະສົມຮ່ວມມືກັບຄວາມເຂັ້ມຂັ້ນຂອງສາຮລະລາຍ

1. ລັບສາຮລະລາຍທີ່ເຕີມຈາກຂົ້ອ 2.1 ໃລ່ງ ໃນກະບົກຈິດຢາຂນາດ 5 ມີລິລິຕົກເຊີ້ມຈິດຢາຂນາດເລັ້ນຜ່ານສູນຢັກລາງ 0.55 ມີລິມີຕົກ ກຳໜັດ ຮະຍະຮ່ວມມືກັບປລາຍເຂັ້ມກັບຕ້ວອງຮັບທີ່ໜຸ້ມດ້ວຍ ກະດາຍພຼຍດໍເທົກກັບ 7 ເຊັ່ນຕິມີຕົກ ປັບແຮງດັນໄຟຟ້າເຄື່ອງກຳນຶດໄຟຟ້າແຮງສູງ (High Voltage) ຂະນາດ 6 ກິໂລໂວລົດ ແລ້ວຈິດເລັ້ນໄຍ້ທີ່ຄວາມເຂັ້ມຂັ້ນຂອງອຸນຸກາຄເຈີນຕ່ອສາຮລະລາຍພອລິເມອວີ້ 1:10, 1:20, ແລະ 1:30 ຕາມລຳດັບ

2. ທົດລອງໜ້າຕາມຂົ້ອ 1 ໂດຍເປີ່ຍນແຮງດັນໄຟຟ້າເປັນ 9, 12, 15 ແລະ 18 ກິໂລໂວລົດ

3. ສັງເກດລັກຊະນະກາຣຈິດເລັ້ນໄຍ້ແລະກາຣ ກະຈາຍຕ້ວຂອງເລັ້ນໄຍ້ບັນແຜ່ຮອງຮັບ ແລະນຳເລັ້ນໄຍ້ທີ່ໄດ້ ໄປວິເຄາະທີ່ລັກຊະນະທາງລັ້ນສູນວິທີຍາ

4. ຈາກຂົ້ອ 3 ເລືອກແຮງດັນໄຟຟ້າທີ່ເກມະສົມ ຈາກລັກຊະນະເລັ້ນໄຍ້ທີ່ມີກາຣກະຈາຍຕ້ວສົມໍາເສມອ ຕ້ອນເນື່ອງ ຕຽງ ພັ້ນປົວເວີຍສົມໍາເສມອ ເກີດເມີດໃນເລັ້ນໃໝ່ນ້ອຍ ມາທຳກາຣທົດລອງຕ້ອໄປ

2.2.2 ກາຣທາກາວະກິ່ເກມະສົມຮ່ວມມືກັບປລາຍທີ່ຈິດກັບຈາກຮັບເລັ້ນໄຍ້

1. ລັບສາຮລະລາຍທີ່ເຕີມຈາກຂົ້ອ 2.1 ໃລ່ງ ໃນກະບົກຈິດຢາຂນາດ 5 ມີລິລິຕົກເຊີ້ມຈິດຢາຂນາດເລັ້ນຜ່ານສູນຢັກລາງ 0.55 ມີລິມີຕົກ ກຳໜັດ ຄວາມເຂັ້ມຂັ້ນຂອງອຸນຸກາຄເຈີນຕ່ອສາຮລະລາຍພອລິເມອວີ້ 1:20 ໂດຍກຳໜັດແຮງດັນໄຟຟ້າດ້ວຍເຄື່ອງກຳນຶດໄຟຟ້າແຮງສູງ (High-Voltage) ຈາກຂົ້ອ 2.2.1 ທຳກາຣຈິດເລັ້ນໄຍ້ທີ່ຮະຍະຮ່ວມມືກັບປລາຍທັງໝົດ ກັບຈາກຮັບເລັ້ນໄຍ້ທີ່ 6 ເຊັ່ນຕິມີຕົກ

2. ທົດລອງໜ້າຕາມຂົ້ອ 1 ໂດຍເປີ່ຍນຮະຍະໃນກາຣຈິດເລັ້ນໄຍ້ເປັນ 7, 8, 9 ແລະ 10 ເຊັ່ນຕິມີຕົກ

3. ສັງເກດລັກຊະນະເລັ້ນໄຍ້ແລະກາຣກະຈາຍຕ້ວຂອງເລັ້ນໄຍ້ບັນແຜ່ຮອງຮັບ ແລະນຳເລັ້ນໄຍ້ທີ່ໄດ້ ໄປວິເຄາະທີ່ລັກຊະນະທາງລັ້ນສູນວິທີຍາ

4. ຈາກຂົ້ອ 3 ເລືອກແຮງດັນໄຟຟ້າທີ່ຈິດກັບຈາກຮັບເລັ້ນໄຍ້ທີ່ເກມະສົມຈາກລັກຊະນະເລັ້ນໄຍ້ທີ່ມີກາຣກະຈາຍຕ້ວສົມໍາເສມອຕ້ອນເນື່ອງ ຕຽງ ພັ້ນປົວເວີຍສົມໍາເສມອ ເກີດເມີດໃນເລັ້ນໃໝ່ນ້ອຍ ມາທຳກາຣທົດລອງຕ້ອໄປ

2.2.3 ກາຣທາກາວະກິ່ເກມະສົມຮ່ວມມືກັບປລາຍອັດຕະກຳ

ສ່ວນຂອງສາຮລະລາຍກັບຮະຍະຮ່ວມມືກັບປລາຍທີ່ຈິດກັບຈາກຮັບເລັ້ນໄຍ້

1. ລັບພລກາຣທົດລອງທີ່ແລ້ວ ມາທຳກາຣທົດລອງຂັ້ນຕອນຕ້ອໄປ

2. ລັບສາຮລະລາຍທີ່ເຕີມຈາກຂົ້ອ 2.1 ໃລ່ງ ໃນກະບົກຈິດຢາຂນາດ 5 ມີລິລິຕົກເຊີ້ມຈິດຢາຂນາດເລັ້ນຜ່ານສູນຢັກລາງ 0.55 ມີລິມີຕົກ ໂດຍ ປັບແຮງດັນໄຟຟ້າດ້ວຍເຄື່ອງກຳນຶດໄຟຟ້າແຮງສູງ ຕາມຂົ້ອ 2.2.1 ຮະຍະໜ່າງໃນກາຣຈິດເລັ້ນໄຍ້ຕາມຂົ້ອ 2.2.2 ທຳກາຣຈິດເລັ້ນໄຍ້ທີ່ຄວາມເຂັ້ມຂັ້ນຂອງອຸນຸກາຄເຈີນຕ່ອສາຮລະລາຍພອລິເມອວີ້ 1:10, 1:20 ແລະ 1:30 ຕາມລຳດັບ

3. ล้างเกตลักษณะการฉีดเล่นไนและการกระเจริญตัวของเล่นไนบนแผ่นรองรับด้วยสายตาและนำเล่นไนที่ได้ไปทำการวิเคราะห์ลักษณะวิทยา

2.3 การทดสอบสมบัติทางกายภาพ

เพื่อดูลักษณะเล่นไน การกระเจริญตัว ขนาดเล่นผ่านศูนย์กลาง และความต่อเนื่องของเล่นไนด้วยกล้องจุลทรรศน์อิเล็กตรอนแบบส่องกราด (Scanning Electron Microscope : SEM) Hitachi รุ่น S-510

2.4 การทดสอบการป้องกันแบคทีเรีย (Anti-Bacterial)

ทดสอบการป้องกันแบคทีเรีย Staphylococcus Aureus ตามมาตรฐาน AATCC Test

Method 100-1999 (เชิงปริมาณ) และ AATCC Test Method 147-1998 (เชิงคุณภาพ) โดยใช้ความเข้มข้นของสารละลาย Ag^+ : PVA 1:20 ร้อยละโดยน้ำหนัก ทดสอบบนวัสดุ 2 ประเภท คือการฉีดเล่นไนลงบนกระดาษฟอยด์ และผ้าตัวตน สีดำ เพื่อดูผลความแตกต่างบนวัสดุรองรับ สำหรับการประยุกต์ใช้งานต่อไป

3. พลการทดลองและวิจารณ์ผล

3.1 ความสัมพันธ์ระหว่างแรงดันไฟฟ้ากับอัตราส่วนสารละลาย

เพื่อหาแรงดันไฟฟ้าที่เหมาะสมในการเตรียมเล่นไนชิลเวอร์ โดยกำหนดระยะห่างระหว่างปลายเข็มกับตัวรองรับที่หุ้มด้วยกระดาษฟอยด์ เท่ากับ 7 เซนติเมตร

ตารางที่ 1 ความล้มพันธ์ระหว่างแรงดันไฟฟ้ากับอัตราส่วนสารละลาย

ตัวกำเนิดไฟฟ้าแรงสูง (kv)	อัตราส่วน Ag^+ : PVA (%w/w)	สังสรานวิทยา
6	1:10	เกิดหยดสารละลายกระจายตัวบนแผ่นรองรับ
	1:20	เกิดเลี้นໃຢ້າກໜະໄມ່ຕ່ອນເນື່ອງ ມີຍຸດສາຮະລາຍ (Bead) ຂັນາດໃຫຍ່ກາຍໃນເລັ້ນໃຢ້າ
	1:30	ໄມ່ສາມາດຈົດເລັ້ນໃຢ້າໄດ້
9	1:10	ເກີດເລັ້ນໃຢ້າກໜະໄມ່ຕ່ອນເນື່ອງ ມີຍຸດສາຮະລາຍ (Bead) ຂັນາດໃຫຍ່ກາຍໃນເລັ້ນໃຢ້າ
	1:20	ເກີດເລັ້ນໃຢ້າທ່ອນເນື່ອງມີການເຮັງຊ້ອນກັນແບບໄມ່ເປັນຮະເບີຍນ ມີ Bead ເກີດບັນເລັ້ນໃຢ້າຈຳນວນ
	1:30	ໄມ່ສາມາດຈົດເລັ້ນໃຢ້າໄດ້
12	1:10	ເກີດເລັ້ນໃຢ້າໄມ່ຕ່ອນເນື່ອງມີການເຮັງຊ້ອນກັນແບບໄມ່ເປັນຮະເບີຍນ ມີ Bead ຂັນາດໃຫຍ່ບັນເລັ້ນໃຢ້າ
	1:20	ເກີດເລັ້ນໃຢ້າທ່ອນເນື່ອງມີການເຮັງຊ້ອນກັນແບບໄມ່ເປັນຮະເບີຍນ Bead ມີຂັນາດເລັກລົງ
	1:30	ໄມ່ເກີດອຸນຸກາຄເລັ້ນໃຢ້າ
15	1:10	ເກີດເລັ້ນໃຢ້າໄມ່ຕ່ອນເນື່ອງມີການເຮັງຊ້ອນກັນແບບໄມ່ເປັນຮະເບີຍນ ພບ Bead ຂັນາດໃຫຍ່ບັນເລັ້ນໃຢ້າ
	1:20	ເລັ້ນໃຢ້າຊ້ອນທັບກັນອູ່ ພບ Bead ຂັນາດເລັກມາກບນ ເລັ້ນໃຢ້າ
	1:30	ໄມ່ເກີດອຸນຸກາຄເລັ້ນໃຢ້າ
18	1:10	ເກີດເປັນເລັ້ນໃຢ້ານີ້ມີ Bead ຂັນາດໃຫຍ່ໃນເລັ້ນໃຢ້າ
	1:20	ເລັ້ນໃຢ້າເຮັງວາ ພັນຜົວເຮັງສຳເລັມອັບເປັນເລັ້ນເລັກ ၅ ທີ່ຊ້ອນທັບກັນອູ່
	1:30	ໄມ່ເກີດອຸນຸກາຄເລັ້ນໃຢ້າ

หมายเหตุ : Bead ສືບ ເມືດສາຮະລາຍທີ່ເກີດຈາກກາຍເຢີດຕັ້ງຂອງສາຮະລາຍພອລິເມອົງແບບໄມ່ສົມບູຮົນ

จากตารางที่ 1 ພບຄວາມລັ້ມພັນທີ່ຮ່ວງ
ແຮງດັນໄຟຟ້າແລະອັຕຣາສ່ວນສາຮະລາຍດັ່ງນີ້

- ແຮງດັນໄຟຟ້າຕໍ່າ (6 ແລະ 9 ກີໂລໂວລດ)
ແລະຄວາມເຂັ້ມຂັ້ນສາຮະລາຍອັຕຣາສ່ວນ Ag^+ :
PVA ເທົກນ 1:10 %w/w ພບເນັພາະຍຸດ
ສາຮະລາຍກະຈາຍທີ່ໄປບັນຕົວຮອງຮັບ ມີເມືດໃນ

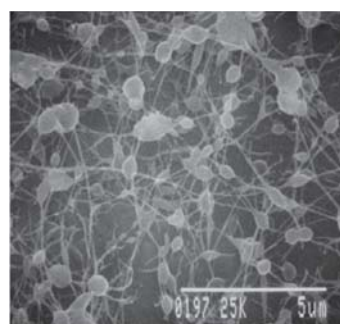
ເລັ້ນໃຢ້າ ທີ່ຈະເປັນອຸນຸກາຄຂອງສາຮະລາຍ ໄນ
ເໜຶ່ງໃນການເຕີຍມເລັ້ນໃຢ້າຊືລເວົວຮົດທີ່ໄດ້ຕາມ
ການທດລອງຂອງ Ji-Huan He (Ji-Huan He,
Yu-Qin Wan and Jian-Yong Yu, 2008)

ເມື່ອເພີ່ມຄວາມເຂັ້ມຂັ້ນສາຮະລາຍເປັນ 1:20
%w/w ເກີດຍຸດສາຮະລາຍກະຈາຍບັນຕົວຮອງຮັບ

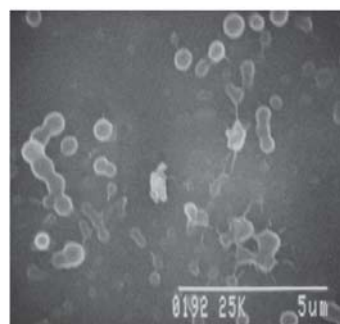
เช่นเดียวกันกับความเข้มข้น 1:10 %w/w แต่สารละลายนางส่วนสามารถดึงยึดเป็นเล็นนิยที่มีหยดสารละลายนานาดิ่ญ ตามทฤษฎีของ S.H. Tan (S-H.Tan, R. Inai, M. Kotaki, and S. Ramakrishna, 2005)

เนื่องจากแรงดันไฟฟ้าไม่สามารถอาชันนัค่าแรงตึงผิวของสารละลายนสารละลายน้ำที่ได้ไม่สามารถดึงยึดเป็นเล็นนิยได้

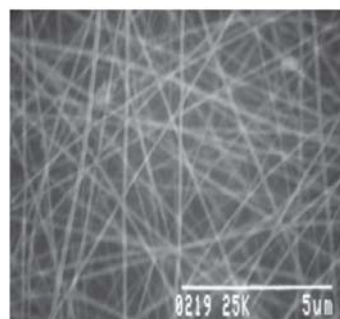
- พิจารณาแรงดันไฟฟ้าที่ 12, 15 และ 18 กิโลโวลต์ ความเข้มข้นสารละลายน้ำต่อ เกิดการดึงยึดเป็นเล็นนิยกระจายทั่วไปบนแผ่นรองรับ แต่เกิดหยดสารละลายน้ำในเล็นนิยเช่นเดียวกันเล็นนิยที่ได้ไม่ต่อเนื่อง หยดสารละลายน้ำลดลง แต่ความต่อเนื่องของเล็นนิยเพิ่มขึ้นเมื่อแรงดันไฟฟ้าสูงขึ้น แรงดันไฟฟ้า 15 กิโลโวลต์ อัตราส่วนสารละลายน้ำต่อกับ 1:20 %w/w ได้เล็นนิยมีความต่อเนื่อง หยดสารละลายน้ำในเล็นนิยเล็กมาก ไม่เกิดหยดสารละลายน้ำบนแผ่นรองรับ ได้เล็นนิยมีความสม่ำเสมอไม่มีหยดสารละลายน้ำในเล็นนิยเมื่อเพิ่มแรงดันไฟฟ้าเป็น 18 กิโลโวลต์



ก) 12 kV, 1:10



ก) 18 kV, 1:10



ก) 18 kV, 1:20

รูปที่ 2 ความล้มพันธ์แรงดันไฟฟ้า และความเข้มข้นของสารละลายน้ำ

ลักษณะเลี้นໃයທີ່ໄດ້ຈາກຄວາມສົ່ມພັນຮ່ວມໜ້າຮ່ວງແຮງດັນໄຟຟ້າແລະຄວາມເຂັ້ມຂັ້ນສາຣະລາຍ ແລດງດັງຮູບທີ່ 1 ພຸລກຮັກສຶກຊາມມີຄວາມສອດຄລ້ອງຕາມທຸກໆຂຶ້ນຂອງ J.M. Deitzel (J.M. Deitzel, J. Kleinmeyer, D. Harris, N.C. Beck Tan, 2001) ກລ່າວຄືອ ຂາດແຮງດັນທີ່ເພີ່ມເຂົ້ນ ທຳໄທກະແລໄຟຟ້າທີ່ໃຊ້ປັນເລັ້ນໃຍ້ດ້ວຍໄຟຟ້າສົດຍົມກາເຂົ້ນດ້ວຍສົ່ງຜລໃຫ້ອັດຕາກາຣໃຫລຂອງມວລສາຣະລາຍຈາກປລາຍເຂົ້ມໄປຢັ້ງສູນຮອງຮັບເວົ້າເຂົ້ນ ໄທດໃນສາຣະລາຍ ມີຂາດເລັກລົງ ສາມາດດຶງຍືດເປັນເລັ້ນໃຍ້ມີຄວາມສົ່ມໍາເສມອ ມີຜົວເສັ້ນໃຍ້ເວີຍບ ແຕ່ເປັນທີ່ນໍາສັງເກຕວ່າເມື່ອເພີ່ມອັຕຣາສ່ວນສາຣະລາຍເປັນ 1:30 ໃນທຸກກຣັນໄມ້ເກີດອນຸກາຄໄດ ຖ ບນແຜ່ນຮອງຮັບເນື່ອງຈາກສາຣະລາຍຄວາມເຂັ້ມຂັ້ນສູງໄໝສາມາດຜ່ານຫ່ອງວ່າງຂອງອຸປກຣັນນໍາໄຟຟ້າ (ເຂົ້ມຈິດຍາ) ໄດ້

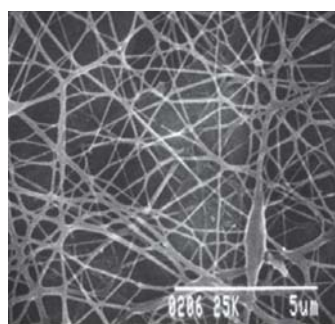
ຈາກພຸລກຮັກສຶກຊາຄວາມສົ່ມພັນຮ່ວມໜ້າຮ່ວງແຮງດັນໄຟຟ້າແລະອັຕຣາສ່ວນ Ag^+ : PVA ເພື່ອຫາສປາວະທີ່ເໝາະສົມໃນກາຣເຕີຍມເລັ້ນໃຍ້ຊີລເວ່ອຮ ສາມາດສຽບໄດ້ວ່າ ແຮງດັນໄຟຟ້າ 18 ກິໂລໂວລົດ ແລະອັຕຣາສ່ວນ Ag^+ : PVA ເທົກກັບ 1:20 ມີຄວາມເໝາະສົມໃນກາຣເຕີຍມເລັ້ນໃຍ້ ສາມາດທຳໄ້ເກີດກາຣຍືດຕົວຂອງສາຣະລາຍເປັນເລັ້ນໄດ້ ໄມເກີດເມັດສາຣະລາຍໃນເລັ້ນໃຍ້ມີຂາດເລັ້ນຜ່ານຄູນຍົກລາງເຊີລື່ຍ 183.3 ນາໂນເມຕ ໄຍມີຄວາມຕ່ອນເນື່ອງສົ່ມໍາເສມອ ມີເມັດໃນເລັ້ນໃຍ້ເລັກນ້ອຍ ມີຂາດເລັ້ນຜ່ານຄູນຍົກລາງເຊີລື່ຍ 183.3 ນາໂນເມຕ ເນື່ອງຈາກມີຄວາມໜີດທີ່ເໝາະສົມຕ່ອງຄ່າແຮງດັນໄຟຟ້າພອລິເມອົງມີກາຣກະຈາຍຕົວທີ່

3.2 ຄວາມສັນພັນຮະກວ່າງແຮງດັນໄຟຟ້າກັບຮະຢະກວ່າງປລາຍເກີດກັບຈາກຮັບເສັ້ນໃຍ

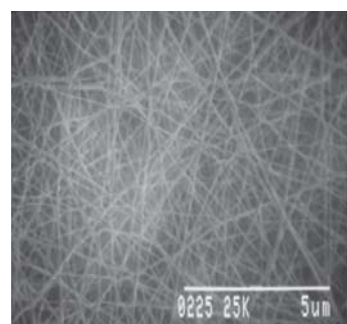
ເພື່ອຫາຮະຮະກວ່າງປລາຍເກີດກັບຈາກຮັບເສັ້ນໃය ໂດຍກຳນົດແຮງດັນໄຟຟ້າທີ່ 18 ກິໂລໂວລົດ ແລະອັຕຣາສ່ວນ Ag^+ : PVA ເທົກກັບ 1:20 ທຳກາຣ ລັກເກຕໃນຮັກສຶກຊາກະຈາຍຕົວ 5 ເຊັນຕີເມຕຮອບທຸກໆເລັ້ນໃຍ້

ຕາງ່າງທີ່ 2 ກາຣທະຍະໃນກາຣຈືດເລັ້ນໃය ສໍາຫຼັບກາຣເຕີຍມເລັ້ນໃຍ້ຊີລເວ່ອຮ

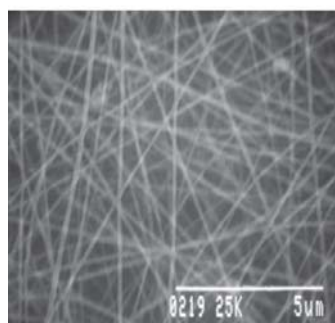
ຮະຍະຮະກວ່າງປລາຍເກີດກັບຈາກຮັບເສັ້ນໃຍ (cm)	ສັນສູນວິທີຍາ
6	ເລັ້ນໃයເວີຍຊ້ອນທັບກັນ ພື້ນຜົວໄມ້ເວີຍບ ມີເມັດໃນເລັ້ນໃය ມີ bead ໃນເລັ້ນໃຍເລັກນ້ອຍຂາດເລັ້ນຜ່ານຄູນຍົກລາງເຊີລື່ຍ 101.9 ນາໂນເມຕ
7	ເລັ້ນໃයເວີຍວ່າ ພື້ນຜົວເວີຍສົ່ມໍາເສມອ ເປັນເລັ້ນເລັກ ຖ ຊ້ອນທັບກັນຍ່າງໜາ ແນ່ນ ຂາດເລັ້ນຜ່ານຄູນຍົກລາງເຊີລື່ຍ 183.3 ນາໂນເມຕ
8	ເລັ້ນໃයເວີຍຊ້ອນທັບກັນຜົວ ຄວາມໜານ ແນ່ນຂອງເລັ້ນໃຍນ້ອຍລົງ ຂາດເລັ້ນຜ່ານຄູນຍົກລາງເຊີລື່ຍ 138.9 ນາໂນເມຕ
9	ເລັ້ນໃයເວີຍຊ້ອນທັບກັນ ຄວາມໜານ ແນ່ນຂອງເລັ້ນໃຍນ້ອຍລົງ ຂາດເລັ້ນຜ່ານຄູນຍົກລາງເຊີລື່ຍ 96.3 ນາໂນເມຕ
10	ເລັ້ນໃຍມີຂາດເລັກເວີຍຊ້ອນທັບກັນ ຄວາມໜານແນ່ນຂອງເລັ້ນໃයນ້ອຍລົງ ມາກ ຂາດເລັ້ນຜ່ານຄູນຍົກລາງເຊີລື່ຍ 94.5 ນາໂນເມຕ



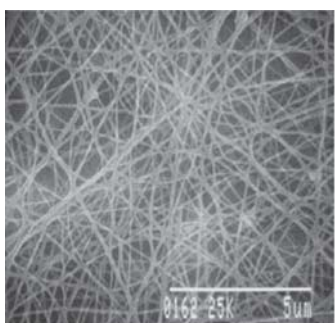
ก) 6 ซม.



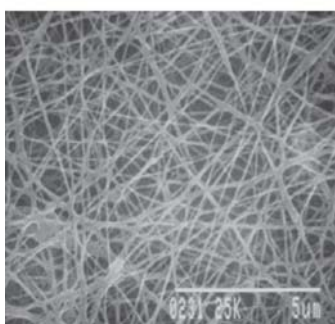
จ) 10 ซม.



ข) 7 ซม.



ค) 8 ซม.



ง) 9 ซม.

รูปที่ 3 ลักษณะเล็นไยที่ฉีดด้วยแร่ดันไฟฟ้า
18 กิโลโวัลต์

จากตารางที่ 2 พบร่วมระหว่างปลายหัวฉีดกับฉากรองรับกับขนาดเล็นไยมีความล้มพังรักน กล่าวคือ การเพิ่มระยะในการฉีดเล็นไยส่งผลให้เล็นไยที่ได้มีขนาดเล็กลง ปรากฏการณ์นี้เกิดเนื่องมาจากมีระยะการยืดตัวของเล็นไยมากขึ้นและเล็นไยมีเวลาที่ใช้แข็งตัวมากขึ้น ถ้าหากระยะในการฉีดเล็นไย ความเข้มข้น และแร่ดันไฟฟ้าเหมาะสมสมมีค่ามากพอที่จะช่วยแร่ดันผิวของสารละลายได้จะทำให้เล็นไยที่ได้มีความสม่ำเสมอเกิดเม็ดในเล็นไยน้อย ตามการทดลองของ X. M. Mo (X.M. Mo, C.Y. Xu, M. Kotaki, and S. Ramakrishna, 2004)

แต่ในการศึกษาพบว่าความหนาแน่นของเล็นไยบริเวณที่ลังเกตลดลงด้วย แต่มีรัศมีการฉีดเล็นไยเพิ่มมากขึ้น เนื่องจากเล็นไยที่เกิดจากกระบวนการฉีดแบบอิเล็กโทรสปินนิ่งนี้เป็นการเกิดเล็นไยแบบสุ่มไม่สามารถกำหนดทิศทางและพื้นที่ในการเกิดเล็นไยได้อย่างแน่นอน เมื่อเพิ่มระยะในการฉีดเล็นไยเพิ่มมากขึ้น พื้นที่ในการฉีดเล็นไยจึงเพิ่มขึ้น ทำให้เกิดการกระจายตัวเป็นรัศมีวงกว้างมากขึ้น

3.3 การทดสอบการป้องกันแบคทีเรีย (Anti-Bacterial)

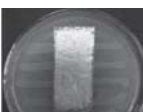
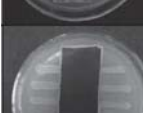
ตามมาตรฐานทั่งเชิงปริมาณและเชิงคุณภาพตามมาตรฐาน AATCC Test Method 100-1999 (Quantitative) และ AATCC Test Method 147-1998 (Quality) อัตราส่วนสารละลายน Ag^+ : PVA เท่ากับ 1:20

ตารางที่ 3 การป้องกันแบคทีเรียเชิงปริมาณ

ตัวอย่าง	ปริมาณแบคทีเรีย (พื้นที่/ชั้นตัวอย่าง)		การป้องกันแบคทีเรีย (%)
	เริ่มต้น	หลังเพาะเชื้อ	
กระดาษฟอยด์	1.71×10^5	$>10^6$	0
ผ้าตัววน	1.77×10^5	$>10^6$	0

หมายเหตุ : ทำการเพาะเชื้อตัวอย่าง 24 ชม.

ตารางที่ 4 การป้องกันแบคทีเรียเชิงคุณภาพ

ตัวอย่าง	ผลการศึกษา	ลักษณะ
กระดาษฟอยด์	ไม่พบการเจริญเติบโตของแบคทีเรีย บริเวณทดสอบ	
ผ้าตัววน	ไม่พบการเจริญเติบโตของแบคทีเรีย บริเวณทดสอบ	

การทดสอบการป้องกันแบคทีเรีย *Staphylococcus Aureus* พบว่า เลี้นไชลเวอร์ที่ฉีดลงบนกระดาษฟอยด์และผ้าตัววนสีดำน้ำหนึwa อัตราร้อยละการยับยั้งแบคทีเรียเป็น 0 และงว่าเลี้นไชลเวอร์ไม่สามารถยับยั้งแบคทีเรียได้ แต่มีความสามารถป้องกันแบคทีเรียได้ในพื้นที่ที่มีเลี้นไชลเวอร์ไม่พบการเจริญเติบโตของแบคทีเรียในบริเวณที่ทำการควบคุม

4. สรุป

4.1 สรุปผลการทดสอบ

เลี้นไชลเวอร์สามารถเตรียมด้วยกระบวนการปั๊นเลี้นไชล์ด์โดยใช้ไฟฟ้าสถิตย์ได้ เลี้นไชล์ด์มีความต่อเนื่อง สม่ำเสมอ ลักษณะที่เหมาะสมในการเตรียมเลี้นไชล์ด์ คือ แรงดันไฟฟ้า 18 กิโลโวลต์ อัตราส่วน Ag^+ : PVA เท่ากับ 1:20 ร้อยละโดยน้ำหนัก และระยะระหว่างปลายหัวฉีดกับจุดรับเลี้นไชล์ด์เท่ากับ 7 เซนติเมตร ขนาดเลี้นผ่านศูนย์กลางเฉลี่ย 183.3 นาโนเมตร ผลการฉีดเลี้นไชล์ด์เข้ากับบริเวณความเข้มข้นสารละลายน แรงดันไฟฟ้า และระยะในการยึดตัวของสารละลายน ลักษณะที่ได้สามารถป้องกันการเกิดแบคทีเรียชนิด *Staphylococcus Aureus* ตามมาตรฐาน AATCC Test Method 147-1998

4.2 ข้อเสนอแนะ

1. ควรฝึกการศึกษาเพิ่มเติมโดยเพิ่มอัตราส่วนของอนุภาคเงิน (Ag^+) เพื่อศึกษาผลเพิ่มเติมในการยับยั้งแบคทีเรีย

2. ปรับเทคนิคการฉีดเลี้นไชล์ด์โดยใช้การฉีดเลี้นไชล์ด์แบบไรรีม (Needleless) เพื่อช่วยให้อนุภาคเงินสามารถออกมากับสารละลายน้ำได้มากขึ้น

5. กิตติกรรมประกาศ

โครงการในงานเคมีลิ่งທອງเรื่องการเตรียมเลี้นไชลเวอร์ ด้วยกระบวนการปั๊นเลี้นไชล์ด์โดยใช้ไฟฟ้าสถิตย์ได้รับเงินสนับสนุนทุนการวิจัยจากมหาวิทยาลัยเทคโนโลยีราชมงคลพระนคร และความอนุเคราะห์สารเคมีและผลการทดสอบจากบริษัท ดีทแยม จำกัด

6. ເອກສາຣວັງອົງ

- Bolgen N., Menceloglu Y.Z., Acatay K., Vargel I., Piskin E., 2007. **In vitro and in vivo degradation of non-woven materials made of poly(ε-caprolactone) nanofibers prepared by electrospinning under different conditions**, *J. Bio. Sci.*, **16**: 1537-1555.
- Wang Y., Yang Q., Shan G., Wang C., Du J., Wang S., Li Y., Chen X., Jing X., and Yen W., 2005. **Preparation of silver nano particles dispersed in polyacrylonitrile nanofibers film spun by electrospinning**, *Mater. Lett.*, **59**: 3046-3049.
- Stasiak M., Roben C., Rosenberger N., Schleith F., Studer A., Greiner A., and Wendorff J.H., 2007. **Design of polymer nanofiber systems for the immobilization of homogeneous catalysts - Preparation and leaching studies**, *Polym. J.*, **48**: 5208-5218.
- Stasiak M., Studer A., Greiner A., and Wendorff J.H., 2007. **Polymer fibers as carriers for homogeneous catalysts**, *Eur. J. Inorg. Chem.*, **13**: 6150-6156.
- Caricato A.P., Capone S., Ciccarella G., Martino M., Rella R., Romano F., Spadavecchia J., Taurino A., Tunno T., and Valerini D., 2007. **TiO₂ nanoparticle thin film deposition by matrix assisted pulsed laser evaporation for sensing applications**, *Appl. Surf. Sci.*, **253**: 7937-7941.
- Wang Y., Yang Q., Shan G., Wang C., Du J., Wang S., Li Y., Chen X., Jing X., and Yen W., 2005. **Preparation of silver nanoparticles dispersed in polyacrylonitrile nanofibers film spun by electrospinning**, *Mater. Lett.*, **59**: 3046-3049.
- Maze B., Vahedi Tafreshi H., Wang Q., and Pourdeyhimi B., 2007. **A simulation of unsteady-state filtration via nanofiber media at reduced operating pressures**, *Aerosol Sci.*, **38**: 550-571.
- Gopal R., Kaur S., Ma Z., Chan C., Ramakrishna S., and Matsuura T., 2007. **Electrospun nanofibrous filtration membrane**, *J. Memb. Sci.*, **281**: 581-586.
- Kim J., Nam S., Rhee M., Park H., and Park H., 2007. **Preparation and characterization of antimicrobial polycarbonate nanofibrous membrane**, *Eur. Polym. J.*, **43**: 3146-3152.
- Ji-Huan He, Yu-Qin Wan and Jian-Yong Yu. 2008. **Effect of concentration on electrospun polyacrylonitrile (PAN) nanofibers**. *Fibers and Polymers.*, **9**: 140-142.

- S-H. Tan, R. Inai, M. Kotaki, S. Ramakrishna.
2005. Systematic parameter study
for ultra-fine fiber fabrication via
electrospinning process. *Polymer.*
46: 6128-6134.
- J.M. Deitzel, J. Kleinmeyer, D. Harris, N.C.
Beck Tan. 2001. The effect of
processing variables on the
morphology of electrospun nanofibers
and textiles. *Polymer.* **42:** 261-272.
- X.M. Mo, C.Y. Xu, M. Kotaki, and S.
Ramakrishna, 2004. Electrospun
P(LLA-CL) nanofiber: a biomimetic
extracellular matrix for smooth muscle
cell and endothelial cell proliferation,
Biomaterials, **25:** 1883-1890.